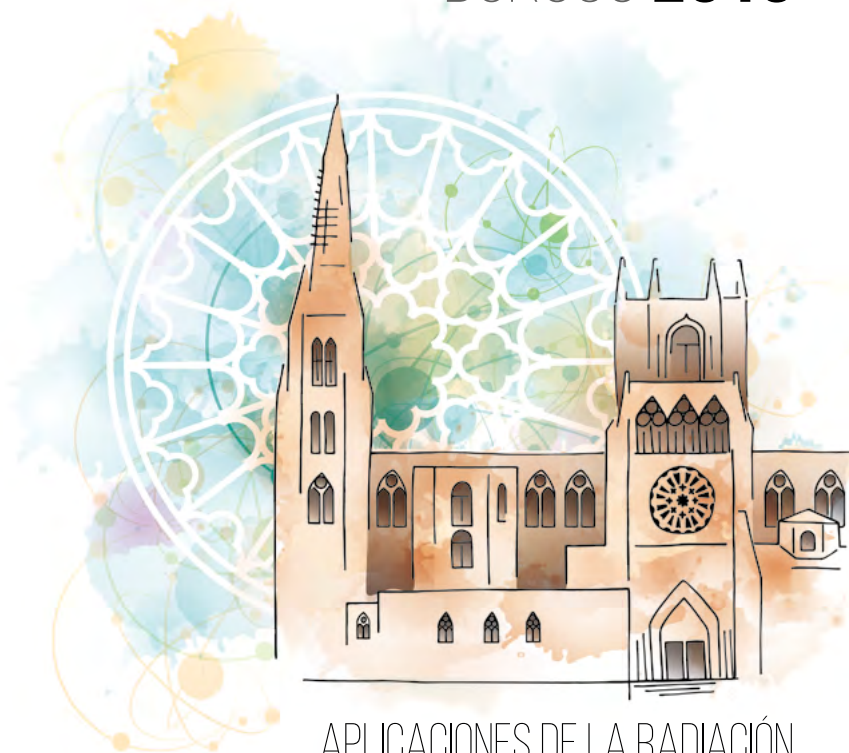




6^º CONGRESO CONJUNTO
22 SEFM | SEPR 17
BURGOS 2019



APLICACIONES DE LA RADIACIÓN
MÁS DE UN SIGLO DE EVOLUCIÓN

| 11-14 JUNIO 2019 |

SESIONES PÓSTERES

SOCIEDADES ESPAÑOLAS DE FÍSICA MÉDICA Y DE PROTECCIÓN RADIOLÓGICA



**Sociedad Española
de Física Médica**



**SOCIEDAD ESPAÑOLA DE
PROTECCIÓN RADIOLÓGICA**

ÍNDICE

MIÉRCOLES 12 DE JUNIO

DE 10:30 H A 11:30 H. 3

NUEVAS TÉCNICAS/TECNOLOGÍAS DE APLICACIÓN DE LAS RADIACIONES (INVESTIGACIÓN, MÉDICAS E INDUSTRIALES) 3

RADIACIONES NO IONIZANTES Y BIOFÍSICA 3

LEGISLACIÓN Y ASPECTOS SOCIALES 3

EDUCACIÓN Y FORMACIÓN 3

DETECCIÓN Y MEDIDA DE LAS RADIACIONES: METROLOGÍA Y DOSIMETRÍA 3

DE 15:30 H A 16:30 H. 5

PROTECCIÓN RADIOLÓGICA OCUPACIONAL (NUCLEAR, INDUSTRIAL, INVESTIGACIÓN, ETC.) Y TRANSPORTE 5

RADIACIONES NATURALES Y REMEDIACIÓN DE ÁREAS CONTAMINADAS 6

PROTECCIÓN RADIOLÓGICA DEL PÚBLICO Y DEL MEDIO AMBIENTE, VIGILANCIA RADIOLÓGICA AMBIENTAL 6

GESTIÓN DE RESIDUOS RADIATIVOS 6

JUEVES 13 DE JUNIO

DE 10:30 H A 11:30 H. 7

MEDICINA NUCLEAR: DOSIMETRÍA DE PACIENTES, TRATAMIENTO DE IMAGEN Y GARANTÍA DE CALIDAD 7

RADIODIAGNÓSTICO: DOSIMETRÍA DE PACIENTES, TRATAMIENTO DE IMAGEN Y GARANTÍA DE CALIDAD 8

SEGURIDAD DEL PACIENTE Y PROTECCIÓN RADIOLÓGICA EN EL MEDIO SANITARIO 10

MEDIDA DE LA RADIACIÓN: DETECTORES Y MANIQUÉS. TÉCNICAS DE MODELADO Y SIMULACIÓN MONTE CARLO 11

RADIOBIOLOGÍA 12

DE 15:30 H A 16:30 H. 12

RADIOTERAPIA I: BRAQUITERAPIA 12

RADIOTERAPIA II: DOSIMETRÍA DE PACIENTES 13

RADIOTERAPIA III: ALGORITMOS DE CALCULO 16

RADIOTERAPIA IV: IMAGEN EN RADIOTERAPIA Y MODELOS PREDICTIVOS 18

SIMPOSIOS TÉCNICOS 19

MIÉRCOLES 12 DE JUNIO | de 10:30 h a 11:30 h.

Nuevas técnicas/tecnologías de aplicación de las radiaciones (investigación, médicas e industriales)

ID Panel	ID Indico	Título
27	35	OPORTUNIDAD Y VIABILIDAD DE UN DETECTOR PARA MONITORIZAR EL POTENCIAL SANGRADO DURANTE LA RADIOTERAPIA INTRAOPERATORIA CON ELECTRONES
28	79	ANÁLISIS DE OPTIMIZACIÓN EN PROCEDIMIENTOS DE ELECTROFISIOLOGÍA GUIADOS POR CARTOGRAFÍA ELECTRONANATÓMICA
29	273	IMPRESORA 3D MULTIMATERIAL EN FÍSICA MÉDICA
30	436	DEFINICIÓN DE LAS REGIONES TERMOGRÁFICAS DE INTERÉS EN LAS PLANTAS DE LOS PIES EN LA CARRERA: DIFERENCIAS ENTRE SEXOS
31	488	APLICACIÓN DE LA TERMOGRAFÍA INFRARROJA A LA VALORACIÓN DE LA CELULITIS DE CATÉTER DE DERIVACIÓN VENTRÍCULO-PERITONEAL
32	692	NIVELES DE RADIACIÓN DE UN SINCRICLOTRÓN PREVIOS A LA INSTALACIÓN
33	721	SISTEMA EHEALTH PARA LA EVALUACIÓN DE ZONAS DE PRESIÓN FACIAL CAUSADA POR MÁSCARA ANESTÉSICA MEDIANTE TERMOGRAFÍA
34	727	RETOS Y OPORTUNIDADES EN PR Y FM ABIERTOS CON LOS LÁSERES ULTRAINTEENSOS

Radiaciones no ionizantes y biofísica

ID Panel	ID Indico	Título
35	127	COMPARACIÓN DE LOS MÉTODOS DE CONTROL DE LA TASA DE ABSORCIÓN ESPECÍFICA Y DE LA ESTIMULACIÓN NERVIOSA PERIFÉRICA EN DIFERENTES EQUIPOS DE RESONANCIA MAGNÉTICA NUCLEAR
36	257	DESARROLLO DE MANIQUÉS DE CONTROL DE CALIDAD DE IMAGEN EN RESONANCIA MAGNÉTICA PRECLÍNICA

Legislación y aspectos sociales

ID Panel	ID Indico	Título
5	134	PERCEPCIÓN DE LOS ESPECIALISTAS EN RADIOFÍSICA HOSPITALARIA SOBRE EL PAPEL DE LA BIOÉTICA EN SU PRÁCTICA CLÍNICA
6	615	INTEGRACIÓN DEL SISTEMA DE CALIDAD DEL SERVICIO DE RADIOFÍSICA EN EL SISTEMA ISO DEL HOSPITAL

Educación y formación

ID Panel	ID Indico	Título
1	36	DESARROLLO DE UN MANIQUÍ PARA ENSEÑANZA DE DESPLAZAMIENTOS ANGULARES Y ESPACIALES EN EL REGISTRO DE IMÁGENES EN TOMOTERAPIA
2	46	USO Y COMPARATIVA DE APLICACIONES INFORMÁTICAS EN DOCENCIA
3	100	EUTERP- FUNDACIÓN EUROPEA DE FORMACIÓN Y ENTRENAMIENTO EN PROTECCIÓN RADIOLÓGICA. ACTIVIDADES
4	136	FORMACIÓN Y ENTRENAMIENTO A TRABAJADORES POTENCIALMENTE EXPUESTOS A FUENTES HUÉRFANAS

Detección y medida de las radiaciones: metrología y dosimetría

ID Panel	ID Indico	Título
398	50	VARIACIÓN TEMPORAL DEL FACTOR DOSIS-CARGA DE UNA CÁMARA DE IONIZACIÓN DE VOLUMEN PEQUEÑO
399	55	FACTORES DE CORRECCIÓN POR EFECTO DE POLARIDAD Y DE RECOMBINACIÓN DE IONES PARA SEMIFLEX 3D 31021 EN HACES DE FOTONES DE 6 MV Y 6 MV FFF
400	72	INFLUENCIA DE LOS FACTORES DE CORRECCIÓN PROPUESTOS EN TRS-483 EN LA MEDIDA DE FACTORES DE CAMPO
401	74	DETERMINACIÓN DEL FACTOR DE CAMPO PARA UN CONO DE 5 MM DE DIÁMETRO SEGÚN EL DOCUMENTO TRS-483
402	76	DETERMINACIÓN DE LA DEPENDENCIA ANGULAR DE UNA CÁMARA DE IONIZACIÓN IBA CC01

DetECCIÓN Y MEDIDA DE LAS RADIACIONES: METROLOGÍA Y DOSIMETRÍA

ID Panel	ID Indico	Título
403	83	IMPLEMENTACIÓN DEL COP TRS-483 PARA LA MEDIDA DE LA DOSIS ABSOLUTA EN HACES FFF
404	168	DOSIMETRÍA DE HACES FFF: NUEVOS PARÁMETROS DE ANÁLISIS
405	179	IMPLEMENTACIÓN Y ESTUDIO DOSIMÉTRICO DE MATERIAL PARA USO COMO BOLUS EN RADIOTERAPIA
406	195	COMPARACIÓN DE REPRODUCIBILIDAD EN LA MEDIDA DE R50 DE HACES DE ELECTRONES CON CÁMARA DE IONIZACIÓN PLANOPARALELA FRENTE A ARRAY DE CÁMARAS MODELO GESKE
407	202	ESTIMACIÓN DE DOSIS EN CRISTALINO EN LITOTRIZIA MEDIANTE EL USO DE DOSIMETRÍA ELECTRÓNICA
408	207	PUESTA EN MARCHA DEL SERVICIO DE CALIBRACIÓN EN NIVELES DE TERAPIA MEGAVOLTAJE EN EL RPL (USC)
409	223	“VALIDACIÓN DEL SOFTWARE DE ANÁLISIS DE ESPECTROS GAMMA ALEDIN PARA EL EMPLEO DE EU-152 COMO ISÓTOPO DE CALIBRACIÓN DE EQUIPOS DE MEDIDA DE RADIATIVIDAD CORPORAL”
410	228	EVALDE: UN SISTEMA AUTOMATIZADO DE GESTIÓN Y CONTROL DE DATOS PARA EL LABORATORIO DE DOSIMETRÍA PERSONAL EXTERNA.
411	236	APLICACIÓN DEL CONTROL ESTADÍSTICO DE PROCESOS A LOS DATOS HISTÓRICOS DE LAS PRUEBAS DE ESTABILIDAD DE LA CÁMARA PATRÓN SECUNDARIO NIVEL RADIO PROTECCIÓN DEL LABORATORIO SECUNDARIO DE CALIBRACIÓN DOSIMÉTRICA DE GUATEMALA (SSDL-GUA)
412	270	CARACTERIZACIÓN PRELIMINAR DE LA EMISIÓN ROJA (650 NM) TERMOLUMINISCENTE DE TLD-500
413	277	CARACTERIZACIÓN DE UN DETECTOR DE CENTELLEO DE CEBR3 EN DISTINTAS CALIDADES DE RAYOS-X SEGÚN LA NORMA ISO 4037/1:1996
414	293	EVALUACIÓN ELECTROMAGNÉTICA DE LA EXPOSICIÓN ORIGINADA POR HOT-SPOTS PROCEDENTES DE LOS SMART METERS EN ENTORNOS HOSPITALARIOS
415	335	USO DE FOTORRESISTORES CON ELECTRÓMETROS CONVENCIONALES COMO SISTEMAS DOSIMÉTRICOS EN RADIOTERAPIA
416	341	DESARROLLO DE UN SISTEMA DOSIMÉTRICO BASADO EN FOTODIODOS Y FOTOTRANSISTORES
417	349	DOSIMETRÍA INTERNA DE TRABAJADORES EXPUESTOS A INCORPORACIÓN DE URANIO DURANTE EL PROCESO DE FABRICACIÓN DEL ELEMENTO COMBUSTIBLE NUCLEAR EN ESPAÑA
418	350	DETERMINACIÓN DE LA CAPA HEMIRREDUCTORA DE UN MATERIAL DE ALTA DENSIDAD EN UN HAZ FILTRADO CON 1 MMAL PARA TERAPIA SUPERFICIAL
419	366	COMPARACIÓN ENTRE LA SERIE DE DIAGNÓSTICO DEL LABORATORIO DE METROLOGÍA DE RADIACIONES IONIZANTES DEL CENTRO NACIONAL DE DOSIMETRÍA Y LA SERIE RQR DEFINIDA EN LA NORMA IEC 61267:2005
420	372	COMPARATIVA RESPUESTA NEUTRÓNICA CN VANDELLÓS II
421	381	COMPARACIÓN DE LOS RESULTADOS OBTENIDOS A PARTIR DE DISTINTOS MÉTODOS PARA EL CÁLCULO DE LA DOSIS EFECTIVA EN PROCEDIMIENTOS DE INTERVENCIONISMO
422	390	PÉRDIDA DE SEÑAL POR LECTURA EN DOSÍMETROS OSL DE AL ₂ O ₃ :C
423	399	PRUEBA DE VERIFICACIÓN DE LA DOSIS DEPOSITADA EN UN MANIQUÍ CON MOVIMIENTO MEDIANTE EL SISTEMA SYNCHRONY
424	406	EVALUACIÓN DE INCERTIDUMBRES EN LA DOSIMETRÍA PERSONAL DE SOLAPA Y EXTREMIDADES DEL CENTRO NACIONAL DE DOSIMETRÍA
425	409	ATENUACIÓN DE LOS HACES DE FOTONES POR LA MESA PERFECTPITCH DE VARIAN
426	412	APLICACIÓN DE LAS RECOMENDACIONES TÉCNICAS EUROPEAS DE DOSIMETRÍA INTERNA (EC RP 188) EN CASOS PROPUESTOS DE EXPOSICIÓN INTERNA. ACCIÓN ICIDOSE2017 DE EURADOS
427	426	DESARROLLO Y VALIDACIÓN DE UN PROGRAMA INFORMÁTICO PARA EL TRATAMIENTO DE ESPECTROS ALFA
428	429	APLICACIÓN DEL PROTOCOLO TRS-483 A FACTORES DE CAMPO PARA HACES DE ENERGÍA 6 MV WFF, 6 MV FFF Y 10 MV FFF
429	432	ANÁLISIS DE LOS $\frac{Q_C L_I N, Q_M S_R}{F_C L_I N, F_M S_R}$ CON LA VARIACIÓN DE LA TRANSMISIÓN A TRAVÉS DEL MLC EN HACES DE 6 MV FFF Y 10MV FFF CON DOS DETECTORES DE ESTADO SÓLIDO
430	455	MODIFICACIÓN DE PARÁMETROS DEL PDD DE FOTONES PARA CAMPOS PEQUEÑOS CON CÁMARA DE TRANSMISIÓN COMO REFERENCIA
431	492	REPETIBILIDAD Y REPRODUCIBILIDAD DE ERRORES DEL SISTEMA DE CONTROL DIARIO STARTRACK EN MEDIDA DE DOSIS ABSOLUTA

Detección y medida de las radiaciones: metrología y dosimetría

ID Panel	ID Indico	Título
432	506	ANÁLISIS DE LA EVOLUCIÓN TEMPORAL DE LA DOSIS ABSOLUTA COMO SISTEMA DE COMPROBACIÓN PRE-CALIBRACIÓN DE DOSIS EN UN ACELERADOR TRUEBEAM
433	510	VERIFICACIÓN DE TRATAMIENTOS DE CAMPOS PEQUEÑOS CON PELÍCULAS RADIOCRÓMICAS EN EL A.L. CYBERKNIFE
434	511	AUTORIZACIÓN DE LA DOSIMETRÍA DE EXTREMIDADES EN EL SERVICIO DE DOSIMETRÍA PERSONAL EXTERNA DEL CIEMAT (DPE)
435	547	METODOLOGÍA PARA LA DETERMINACIÓN DE LA DOSIS PERIFÉRICA DEBIDA A LOS NEUTRONES EN PROTONTERAPIA MEDIANTE DETECTORES DE TRAZAS (PADC)
436	573	COMPROBACIÓN DE LOS FACTORES DE CORRECCIÓN PARA CAMPOS PEQUEÑOS PARA EL DETECTOR IBA RAZOR
437	575	COMPARACIÓN DE DOS TIPOS DE DETECTORES PARA LA MEDIDA DE NIVELES DE RADIACIÓN EN HACES PULSADOS DE RADIOLOGÍA INTERVENCIONISTA
438	581	EVOLUCIÓN TEMPORAL DE LA DEPENDENCIA CON LA ORIENTACION DEL BRAZO DE LA DOSIS, ENERGÍA, UNIFORMIDAD Y SIMETRÍA DE FOTONES DE 6 MV Y 18 MV
439	630	VALORACION DE LA RESPUESTA DEL DOSIMETRO AMBIENTAL DE CD CON EL PORTADOSIMETRO RADPRO GAMMA-SPHERE
440	640	COMPARATIVA ENTRE LOS FACTORES DE CORRECCIÓN POR RECOMBINACIÓN OBTENIDOS MEDIANTE EL MÉTODO DE LAS DOS TENSIONES Y EL MÉTODO DE BRUGGMOSER
441	654	RESULTADOS DE UN SISTEMA TLD EN DOS INTERCOMPARACIONES EURADOS (2014-2018) DE DOSÍMETROS PASIVOS PARA VIGILANCIA AMBIENTAL
442	671	SENSITOMETRÍA DE LAS PELÍCULAS RADIOCRÓMICAS EBT2 Y EBT3 BASADO EN EL CRECIMIENTO DE DOS FASES DEL POLÍMERO
443	672	FACTORES DE CORRECCIÓN PARA ESTIMAR LA DOSIS EQUIVALENTE EN CRISTALINO A PARTIR DE LA DOSIMETRÍA DE DELANTAL
444	674	UN NUEVO PROCEDIMIENTO PARA LA DOSIMETRÍA CON PELÍCULAS RADIOCRÓMICAS BASADO EN PROMEDIOS NO LOCALES
445	691	PRUEBA DE CONTROL DE SINCRONÍA PARA LA EXACTITUD ESPACIAL Y RESPUESTA TEMPORAL DE SISTEMAS DE TRACKING CON GATING. VERIFICACIÓN EN RPM Y CALYPSO® DE VARIAN INC
446	703	ESTUDIO COMPARATIVO DE OUTPUT FACTORS DE CAMPOS PEQUEÑOS CON CÁMARA DE IONIZACIÓN MICROLION

MIÉRCOLES 12 DE JUNIO | de 15:30 h a 16:30 h.

Protección Radiológica ocupacional (nuclear, industrial, investigación, etc.) y Transporte

ID Panel	ID Indico	Título
456	96	CATARATAS EN TRABAJADORAS PROFESIONALMENTE EXPUESTAS DE UNA INSTALACIÓN DE RADIOTERAPIA
457	178	DOSIMETRÍA DE NEUTRONES Y VERIFICACIÓN DEL BLINDAJE EN CENTROS COMPACTOS DE PROTONTERAPIA (CPTC)
458	206	ESTUDIO DE LA ACTIVACIÓN EN LA CÁMARA DE INTERACCIÓN DE UNA INSTALACIÓN LÁSER
459	340	IMPACTO DE LA INTRODUCCIÓN DE UN SISTEMA DE DISPENSACIÓN E INYECCIÓN AUTOMÁTICA (INTEGO) EN LA DOSIMETRÍA DEL PERSONAL DE ENFERMERÍA DE UNA INSTALACIÓN DE MEDICINA NUCLEAR
460	343	CARACTERIZACIÓN DEL MATERIAL CONTEK-RV Y CONTEK-RFH COMO BLINDAJE PARA EL ISÓTOPO ^{18}F
461	487	NOVEDADES DE LA NORMA ISO/IEC 17025:2017. ADAPTACIÓN DE LOS NUEVOS REQUISITOS EN UN SERVICIO DE DOSIMETRÍA ACREDITADO
462	502	MEDIDA DE RADÓN EN LA INSTALACIÓN RADIATIVA DE RADIOTERAPIA DEL HOSPITAL UNIVERSITARIO DE CANARIAS. COMPARACIÓN CON LA DOSIS OCUPACIONAL.
463	524	EXPERIENCIA EN EL USO DE UN SISTEMA DE DOSIMETRÍA PERSONAL ELECTRÓNICA EN UNA SALA DE RADIOLOGÍA VASCULAR

Protección Radiológica ocupacional (nuclear, industrial, investigación, etc.) y Transporte

ID Panel	ID Indico	Título
464	598	DOSIS AMBIENTAL EN QUIRÓFANOS HÍBRIDOS DURANTE LA ADQUISICIÓN DE TOMOGRAFÍA INTRAOPERATORIA
465	626	RED DE MONITORES DE RADIACIÓN EN EL SINCROTRÓN ALBA

Radiaciones naturales y Remediación de áreas contaminadas

ID Panel	ID Indico	Título
473	240	LECCIONES APRENDIDAS EN LA DESCLASIFICACIÓN DEL SUBSUELO Y PARAMENTOS DE UN EDIFICIO DEL CIEMAT
474	495	RADIACIÓN GAMMA NATURAL EN LA ISLA DE LA GOMERA, ISLAS CANARIAS
475	585	ANÁLISIS DE LA CONCENTRACIÓN DE ⁷ Be Y ACTIVIDAD BETA TOTAL EN AEROSOLIOS ATMOSFÉRICOS, MEDIANTE LA COMPARACIÓN DE VARIAS TÉCNICAS DE REDUCCIÓN DE DIMENSIONALIDAD

Protección Radiológica del público y del medio ambiente, Vigilancia radiológica ambiental

ID Panel	ID Indico	Título
466	111	CONTROL DE CALIDAD DIARIO DE UN EQUIPO LECTOR DE DOSÍMETROS PERSONALES HARSHAW 6600
467	245	CARACTERIZACIÓN RADIOLÓGICA DE AGUAS EMBOTELLADAS EN ESPAÑA PARA CONSUMO HUMANO
468	267	CREACIÓN DE UNA HERRAMIENTA EN MATLAB PARA EL CÁLCULO Y VERIFICACIÓN AUTOMÁTICOS DE BLINDAJES EN INSTALACIONES DE PET-CT
469	370	ANÁLISIS DE SERIES TEMPORALES DE RADÓN "INDOOR" MEDIANTE HERRAMIENTAS WAVELET
470	421	ANÁLISIS DE PU-241 EN MUESTRAS INDUSTRIALES Y AMBIENTALES
471	563	EVALUACIÓN DE LA EXPOSICIÓN AL RADÓN EN LA CUEVA DE POZALAGUA
472	590	INTERCOMPARACIONES ENTRE LABORATORIOS DE RADIATIVIDAD AMBIENTAL EN ESPAÑA: PASADO, PRESENTE Y FUTURO
455	176	DESARROLLO DE PROCEDIMIENTOS RÁPIDOS PARA LA VIGILANCIA RADIOLÓGICA AMBIENTAL EN EMERGENCIAS

Gestión de residuos radiactivos

ID Panel	ID Indico	Título
447	61	¿GESTIÓN DEL LU 177M?
448	97	PROCEDIMIENTO DE ACTUACIÓN EN LAS OPERACIONES DE VENTEO CONTROLADO DE FUENTES DE KR-85
449	121	NIVELES DE REFERENCIA DE WENRA EN RELACIÓN CON LA SEGURIDAD EN EL TRATAMIENTO Y EL ACONDICIONAMIENTO DE LOS RESIDUOS RADIATIVOS
450	133	GESTIÓN DEL RESIDUO RADIATIVO SÓLIDO EN UNA UNIDAD DE TERAPIA METABÓLICA
451	154	MODELIZACIÓN DE UN CZT POR MONTECARLO Y SU APLICACIÓN A LA GESTIÓN DE RESIDUOS
452	373	IMPLANTACIÓN EN C.N. VANDELLOS II DE LA DESCLASIFICACION INCONDICIONAL DE LA CHATARRA RESIDUAL
453	438	MÉTODOS APLICABLES A LA DETERMINACIÓN DE LOS FACTORES DE ESCALA EN LA CARACTERIZACIÓN PARA EL DESMANTELAMIENTO
454	739	VERIFICACIÓN RETROSPECTIVA DE UN MÉTODO ALTERNATIVO DE CARACTERIZACIÓN DE MATERIAL RESIDUAL CON CONTENIDO RADIATIVO DE MEDICINA NUCLEAR

JUEVES 13 DE JUNIO | de 10:30 h a 11:30 h.

Medicina nuclear: Dosimetría de pacientes, tratamiento de imagen y garantía de calidad

ID Panel	ID Indico	Título
66	132	USO DE UN CÓDIGO DE MONTE CARLO PARA LA OBTENCIÓN DE LOS FACTORES \$\$\$-VÓXEL EMPLEADOS EN DOSIMETRÍA CON RADIOFÁRMACOS
67	135	CALIBRACIÓN DE UN CONTADOR DE POZO PARA MEDIDAS CUANTITATIVAS DE MUESTRAS DE SANGRE EN TRATAMIENTOS CON LU-177
68	162	ESTABLECIMIENTO Y OPTIMIZACIÓN DEL PROTOCOLO DE PROTECCIÓN RADIOLÓGICA EN PACIENTES SOMETIDOS A TRATAMIENTO DE METÁSTASIS EN TUMORES NEUROENDOCRINOS CON LU-177
69	200	CALIBRACIÓN DE UNA GAMMACÁMARA PARA CUANTIFICAR ACTIVIDAD EN ESTUDIOS DE SPECT/CT DE I-131
70	244	ESTIMACIÓN DEL EMBORRONAMIENTO EN IMÁGENES CLÍNICAS DE PET
71	254	CUANTIFICACIÓN DE ACTIVIDAD EN LA PLANIFICACIÓN DE TRATAMIENTOS DE Y-90
72	269	ESTUDIO DE CONVERGENCIA DE LOS COEFICIENTES DE RECUPERACIÓN DE CONTRASTE EN UN PET/TC DIGITAL VEREOS PARA LA OPTIMIZACIÓN DE PROTOCOLOS
73	329	EVALUACIÓN DE LOS NIVELES DE DOSIS DE REFERENCIA EN ESTUDIOS PET/CT
74	334	CUANTIFICACIÓN DE CALIDAD DE IMAGEN GLOBAL EN SPECT Y PET CON MANIQUÍ JASZCZAK Y DESARROLLO DE UNA MACRO IMAGEJ PARA SU MEDIDA
75	338	CÁLCULO DEL PERÍODO EFECTIVO DE SEMIDESINTEGRACIÓN DEL 177LU EN EL TRATAMIENTO DE PACIENTES CON TUMORES NEUROENDOCRINOS
76	359	ANÁLISIS DE LAS DOSIS IMPARTIDAS EN LOS ESTUDIOS REALIZADOS CON UN PET/CT DIGITAL
77	364	ACEPTACIÓN Y ESTADO DE REFERENCIA DE LA GAMMACÁMARA PORTÁTIL SENTINELLA 102
78	367	ACREDITACIÓN EARL DE UN EQUIPO PET/CT GEMINI TF
79	388	ESTUDIO CALIDAD DE IMAGEN PET/CT DIGITAL CON TECNOLOGÍA TOF. COMPARATIVA PET/CT DIGITAL VS. PET/CT ANALÓGICO
80	404	DOSIMETRÍA POR IMAGEN EN TRATAMIENTOS DE TERAPIA METABÓLICA CON LU-177: EXPERIENCIA INICIAL
81	418	ANÁLISIS DE LAS CORRECCIONES DE RADIACIÓN DISPERSA Y DE RESPUESTA COLIMADOR-DETECTOR EN RECONSTRUCCIÓN DE ESTUDIOS DE SPECT/CT DE LU-177 CON MANIQUÍES DE DISTINTAS GEOMETRÍAS
82	427	ANÁLISIS EN FRECUENCIAS DEL MANIQUÍ DE CUADRANTES EN LA PRUEBA DE LINEALIDAD PLANAR
83	428	EFICIENCIA DE DETECCIÓN EN UNA GAMMA-CÁMARA EN FUNCIÓN DEL RADIO DE GIRO DEL SPECT
84	435	PROCEDIMIENTO ALTERNATIVO PARA EL ANÁLISIS DEL CENTRO DE ROTACIÓN EN GAMMACÁMARAS TOMOGRÁFICAS
85	441	¿ESTÁ EL VALOR DE UNIFORMIDAD INTRÍNSECA INEQUÍVOCAMENTE DEFINIDO?: DEPENDENCIA CON TAMAÑO DE PIXEL
86	458	ESTIMACIÓN DEL ERROR ASOCIADO AL REMUESTREO MEDIANTE INTERPOLACIÓN TRILINEAL EN IMÁGENES SPECT Y PET PARA REALIZAR DOSIMETRÍA INTERNA DE PACIENTES TRATADOS CON RADIONUCLEIDOS
87	466	CONSTRUCCIÓN DE KERNELS DE CONVOLUCIÓN A PARTIR DE PERFILES RADIALES DE DOSIS OBTENIDOS MEDIANTE MÉTODO MONTE CARLO PARA LA DOSIMETRÍA DE PACIENTES EN MEDICINA NUCLEAR
88	499	EVALUACIÓN DEL CENTRO DE ROTACIÓN SEGÚN LOS PROTOCOLOS NEMA Y DEL EQUIPO
89	535	RADIOEMBOLIZACIONES CON Y-90: DIFERENCIAS ENTRE LA ACTIVIDAD PRESCRITA Y LA ADMINISTRADA
90	552	PROTECCIÓN RADIOLÓGICA Y DOSIMETRÍA EN TRATAMIENTOS DE NEUROBLASTOMA CON I131-MIBG
91	558	MODELO DE PARTICIÓN EN LOS ESTUDIOS DE RADIOEMBOLIZACIÓN CON Y-90: IMPACTO DEL MÉTODO EMPLEADO PARA DETERMINAR EL ÍNDICE TN EN LAS DOSIS ABSORBIDAS
92	566	METODO BASADO EN LA TRANSFORMADA DE FOURIER PARA DETERMINAR EL DIAMETRO DE LAS LESIONES EN IMAGEN 2D CON I-131
93	569	PLANIFICACIÓN DE TRATAMIENTOS DE HEPATOCARCINOMA MONOLOBULAR CON Y90 MEDIANTE IMAGEN SPECT
94	570	DOSIMETRÍA PRE Y POS EN TERAPIA METABÓLICA. RESULTADOS CLÍNICOS
95	572	RELACIÓN ENTRE DOSIS ABSORBIDA Y SUPERVIVENCIA LIBRE DE PROGRESIÓN EN RADIOEMBOLIZACIONES HEPÁTICAS CON MICROESFERAS DE Y90

Medicina nuclear: Dosimetría de pacientes, tratamiento de imagen y garantía de calidad

ID Panel	ID Indico	Título
96	588	DETERMINACIÓN DE LA MASA CAPTANTE DE LA GLÁNDULA TIROIDES EN PACIENTES CON HIPERTIROIDISMO MEDIANTE GAMMAGRAFÍA PLANAR CON TC-99M
97	595	EXPERIENCIA DE NUESTRO CENTRO EN LA IMPLANTACIÓN DE LA TÉCNICA DE RADIOEMBOLIZACIÓN CON 90Y
98	601	PRIMEROS PASOS PARA UN PROTOCOLO DE CALIBRACIÓN QUE PERMITA LA CUANTIFICACIÓN DE LAS IMÁGENES SPECT EN ESTUDIOS MULTICENTRICOS
99	606	DESARROLLO DE UNA APLICACIÓN PARA EL ANÁLISIS DE LA UNIFORMIDAD EN PET
100	611	IMPLANTACIÓN DE LA TÉCNICA RADIOACTIVE SEED LOCALIZATION (RSL) PARA EL MARCAJE DE LESIONES TUMORALES
101	617	DETERMINACIÓN DE LA SENSIBILIDAD VOLUMÉTRICA EN GAMMACÁMARAS
102	618	OPTIMIZACIÓN DE PROTOCOLOS PARA LA MEJORA DE LA IMAGEN PET/CT MODIFICANDO DISTINTOS PARÁMETRO DE RECONSTRUCCIÓN
103	625	RESULTADOS PRELIMINARES DE DOSIMETRÍA POST-TRATAMIENTO DE RADIOEMBOLIZACIÓN HEPÁTICA CON MIM
104	643	ANÁLISIS DE LA DOSIMETRÍA DE PACIENTES CON CÁNCER DIFERENCIADO DE TIROIDES MEDIANTE MEDIDAS DE TASA DE DOSIS EXTERNA
105	645	CORRECCIÓN DE ATENUACIÓN EN EQUIPOS PET-RM. COMPARACIÓN DE MÉTODOS MEDIANTE SIMULACIÓN MONTECARLO
106	662	RADIOEMBOLIZACIONES CON Y-90: COMPARACIÓN DE THERASPHERE Y SIRTEX
107	667	DOSIMETRÍA DE RADIOEMBOLIZACIONES CON HOLMIO 166: ESTUDIO DEL FACTOR DE CALIBRACIÓN DE UNA GAMMACÁMARA
108	678	ESTIMACIÓN DE LA DOSIS ABSORBIDA EN PACIENTES TRATADOS CON RA223
109	712	DETERMINACIÓN DE LA CONCENTRACIÓN DE IMPUREZAS EN ACTIVIDAD DE GE-68 EN UNA MUESTRA DE GA-68
110	736	PROGRAMA PARA EL CÁLCULO DE LA RELACIÓN DE CAPTACIÓN TUMOR-TEJIDO EN LA PLANIFICACIÓN DE TRATAMIENTOS DE RADIOEMBOLIZACIÓN CON MICROESFERAS DE ITRIO-90
111	738	MEDIDAS PARA LA DOSIMETRIA CON PROGRAMA COMERCIAL EN NUEVA TÉCNICA CON HO-166

Radiodiagnóstico: Dosimetría de pacientes, tratamiento de imagen y garantía de calidad

ID Panel	ID Indico	Título
112	47	ESTIMACIÓN RÁPIDA DE LA DOSIS ABSORBIDA POR LOS ÓRGANOS DURANTE UNA TOMOGRAFÍA CON EL ESCÁNER DISCOVERY ST8
113	58	OPTIMIZACIÓN DE TÉCNICAS PEDIÁTRICAS EN RX PORTÁTIL DE UNA UCI NEONATAL
114	62	MAMOGRAFÍA: DEL CR AL PANEL PLANO
115	63	REDUCCIÓN DE DOSIS A LOS PACIENTES TRAS LA IMPLEMENTACIÓN DE LA RECONSTRUCCIÓN ITERATIVA IDOSE4
116	73	PUESTA EN MARCHA DE UN SISTEMA DE CALIDAD EN PROTECCIÓN RADIOLÓGICA EN HOSPITALES PRIVADOS DE ALTA COMPLEJIDAD
117	77	GESTIÓN DE DOSIS EN TC
118	103	NIVELES DE REFERENCIA DIAGNÓSTICOS LOCALES EN PROCEDIMIENTOS PEDIÁTRICOS DE RADIOLOGÍA INTERVENCIONISTA
119	117	IMPLEMENTACIÓN QATRACK+ PARA EL CONTROL DE CALIDAD EN RADIODIAGNÓSTICO Y MEDICINA NUCLEAR
120	126	INDICADORES DE DOSIS EN MAMOGRAFÍA EN EL SERVICIO NAVARRO DE SALUD
121	130	ESTABLECIMIENTO DE NIVELES DE REFERENCIA DIAGNÓSTICOS EN EXPLORACIONES DE TC EN ADULTOS DE LA COMUNIDAD AUTÓNOMA DE LA REGIÓN DE MURCIA
122	139	REDUCCIÓN DE DOSIS EN ESTUDIOS DE TC
123	159	RADIOLOGÍA CONVENCIONAL DIGITAL PEDIÁTRICA, ESE GRAN OLVIDADO
124	167	UTILIZACIÓN DE MATERIAL DE PROTECCIÓN EN EXPLORACIONES SIMPLES EN RADIODIAGNÓSTICO PEDIÁTRICO
125	182	NIVELES DE REFERENCIA DE DOSIS LOCALES EN PROCEDIMIENTOS INTERVENCIONISTAS DE CARDIOLOGÍA

Radiodiagnóstico: Dosimetría de pacientes, tratamiento de imagen y garantía de calidad

ID Panel	ID Indico	Título
126	194	ANÁLISIS Y REGISTRO AUTOMATIZADO DE CALIDAD DE IMAGEN EN TOMÓGRAFOS DE EMISIÓN DE POSITRONES
127	205	IMPACTO DE LA RECONSTRUCCIÓN ITERATIVA EN LOS NIVELES DE REFERENCIA DE TC PEDIÁTRICOS.
128	224	ESTUDIO DE LA DEPENDENCIA FUNCIONAL DE LA SELECTIVIDAD DE LOS MÉTODOS DE RECHAZO DE LA RADIACIÓN DISPERSA
129	237	NIVELES DE REFERENCIA PARA DIAGNOSTICO EN PROCEDIMIENTOS DE CARDIOLOGÍA INTERVENCIONISTA PEDIÁTRICA DEL HOSPITAL ROBERTO DE RIO
130	238	DOSIMETRÍA EN TOMOSÍNTESIS DIGITAL DE TÓRAX. UNA EVALUACIÓN PRELIMINAR A SU IMPLANTACIÓN EN LA REGIÓN DE MURCIA
131	253	APLICACIÓN DE LA DIRECTIVA 2013/59 EURATOM EN PROCEDIMIENTOS PEDIÁTRICOS DE RADIOLOGÍA DIGITAL Y CARDIOLOGÍA INTERVENCIONISTA
132	259	ANÁLISIS DE LAS DOSIS IMPARTIDAS EN PROCEDIMIENTOS DE CARDIOLOGÍA INTERVENCIONISTA
133	260	DETERMINACIÓN DE LA CURVA DE TRANSFERENCIA ENTRE CONCENTRACIÓN DE CONTRASTE E INCREMENTO DE UNIDADES HOUNSFIELD
134	262	VALIDACIÓN DE UN ALGORITMO DE AJUSTE NO LINEAL PARA DECONVOLUCIÓN DEL MODELO DE TOFTS EXTENDIDO EN EXPLORACIONES DCE-CT
135	264	ANÁLISIS DE LOS INDICADORES DE DOSIS EN EXPLORACIONES SIMPLES DE RADIOLOGÍA GENERAL
136	266	ANÁLISIS DE LOS INDICADORES DE DOSIS EN EXPLORACIONES DE RADIOLOGÍA SIMPLE PEDIÁTRICA
137	279	CREACIÓN Y OPTIMIZACIÓN DE PROTOCOLOS PEDIÁTRICOS PARA LA ADQUISICIÓN DE IMÁGENES PLANARES CON KILOVOLTAJE EN EQUIPO DE IMAGEN INTEGRADO EN ACELERADOR LINEAL
138	282	EVALUACIÓN DE LA VARIACIÓN TEMPORAL DE LA CALIDAD DE IMAGEN EN EL CONTROL DE CALIDAD DE TOMOGRAFÍA COMPUTARIZADA
139	319	ESTUDIO DE LA DOSIS IMPARTIDA POR LOS EQUIPOS CONVENCIONALES DE RADIODIAGNÓSTICO CUANDO SE HACE USO DEL SISTEMA DE CAE
140	328	PLUG-IN PARA ANÁLISIS IMÁGENES DE CONTROL DE CALIDAD DE MAMOGRAFÍA, "CC MAMO"
141	345	CARACTERIZACIÓN DE UN EQUIPO CT PORTÁTIL PARA INTERVENCIONES QUIRÚRGICAS
142	354	EXPERIENCIA CON UN PROTOCOLO DE BAJA DOSIS PARA CT EN TÓRAX
143	383	¿CÓMO AFECTA LA ACTIVACIÓN DE LA DOBLE ENERGÍA EN TOMOGRAFÍA COMPUTARIZADA A LA DOSIS?
144	384	BÚSQUEDA DE UN PROCEDIMIENTO ALTERNATIVO PARA AJUSTAR LA FUNCIÓN DE TRANSFERENCIA DE UN SISTEMA DE IMAGEN
145	422	INFLUENCIA DE LA POSICIÓN DEL EXPOSÍMETRO AUTOMÁTICO EN LA DOSIS GLANDULAR Y LA CALIDAD DE IMAGEN EN UN MAMÓGRAFO CR
146	439	CONTROL DE LA OPTIMIZACIÓN DE LA DOSIS AL PACIENTE EN ANGIOGRAFÍA CEREBRAL MEDIANTE SOFTWARE DE REGISTRO DOSIMÉTRICO
147	454	CÁMARAS DE TRANSMISIÓN EN EQUIPOS DE RADIODIAGNÓSTICO: INFLUENCIA EN LA DSE DEL PACIENTE
148	456	ESTABLECIMIENTO DE NIVELES DE REFERENCIA LOCALES EN LOS HOSPITALES DE GRANADA. METODOLOGÍA
149	478	UTILIDAD DE UN PROGRAMA DE REGISTRO DE DOSIS PARA EL SEGUIMIENTO DE PACIENTES DE RADIOLOGÍA INTERVENCIONISTA CON RIESGO DE DESARROLLAR LESIONES
150	508	CUANTIFICACIÓN DE LA REDUCCIÓN DE DOSIS PARA LOS PROTOCOLOS MÁS REPRESENTATIVOS EN TOMOGRAFÍA COMPUTARIZADA PARA DOS EQUIPOS CON DIFERENTE SOFTWARE
151	517	PRUEBAS PARA EL CONTROL DE CALIDAD EN EQUIPOS DE RADIOGRAFÍA CONVENCIONAL CON TOMOSÍNTESIS
152	530	LIMITACIONES AL ESTABLECER LOS NIVELES DE REFERENCIA DE DOSIS EN PROCEDIMIENTOS PEDIÁTRICOS DE TC EN NUESTRO HOSPITAL SEGÚN RP N° 185
153	534	DOSIS DE REFERENCIA EN DIAGNÓSTICO DE GRANADA. EXPLORACIONES CONVENCIONALES Y DE MAMOGRAFÍA
154	538	DOSIS A PACIENTES EN UNA SALA DE RADIOLOGÍA VASCULAR INTERVENCIONISTA
155	565	DOSIS DE REFERENCIA EN DIAGNÓSTICO DE GRANADA. TOMOGRAFÍA COMPUTARIZADA E INTERVENCIONISMO

Radiodiagnóstico: Dosimetría de pacientes, tratamiento de imagen y garantía de calidad

ID Panel	ID Indico	Título
156	571	SOLUCIÓN AL CÁLCULO DE DOSIS EN RADIOLOGÍA CONVENCIONAL
157	639	DOSIS EN MAMOGRAFIA. RESULTADOS PRELIMINARES, PROYECTO DOPOES 2
158	647	DICOM Y SISTEMA DE REGISTRO EN RADIOLOGÍA: PROPUESTAS DE MEJORA
159	651	RESULTADOS DEL ALGORITMO DE SUPERPOSICIÓN EN ENERGÍAS DE RADIODIGNÓSTICO EN EL TEJIDO HUESO
160	652	VERIFICACIÓN DE LOS NIVELES DE REFERENCIA DEL PRODUCTO DOSIS LONGITUD (DLPS) PARA ESTUDIOS CRANEALES CON TAC EN EL HOSPITAL UNIVERSITARIO SON ESPASES (HUSE)
161	669	SOFTWARE PROPIO PARA EL ANÁLISIS DEL BAJO CONTRASTE
162	685	CÁLCULO DE LA FUNCIÓN DE TRANSFERENCIA DE MODULACIÓN DE UN HILO MEDIANTE EXCEL
163	688	NIVELES DE REFERENCIA EN TOMOGRAFÍA COMPUTERIZADA DE ADULTOS DEL SISTEMA NAVARRO DE SALUD
164	693	NIVELES DE REFERENCIA EN RADIOLOGÍA CONVENCIONAL DE ADULTOS DEL SISTEMA NAVARRO DE SALUD
165	700	CALCULO DE DOSIS EFECTIVA EN ESTUDIOS DE TOMOSINTESIS EN EQUIPOS DE RAYOS X CONVENCIONAL
166	704	NIVELES DE REFERENCIA EN RADIODIAGNÓSTICO PEDIÁTRICO DEL SISTEMA NAVARRO DE SALUD
167	711	CÁLCULO INDEPENDIENTE DE DOSIS EN PLANIFICACIONES VMAT
168	715	OPTIMIZACIÓN DE LA PROTECCIÓN RADIOLÓGICA EN CARDIOLOGÍA INTERVENCIONISTA MEDIANTE UN SISTEMA DE DOSIMETRÍA DE LECTURA DIRECTA
169	720	EFECTO DE LA TÉCNICA DEL AIR GAP EN LA CALIDAD DE IMAGEN DE PROCEDIMIENTOS DE RADIOLOGÍA INTERVENCIONISTA SIN REJILLA ANTIDIFUSORA
170	724	ESTUDIO DE LA DOSIS DEPOSITADA POR TOMOGRAFÍA COMPUTARIZADA DE TÓRAX EN PACIENTES PEDIÁTRICOS DE DOS AÑOS DE EDAD
171	731	NIVELES DE REFERENCIA DIAGNÓSTICOS LOCALES PARA LOS CINCO ESTUDIOS MÁS COMUNES DE TC EN EL HOSPITAL UNIVERSITARIO DE CANARIAS

Seguridad del paciente y Protección Radiológica en el medio sanitario

ID Panel	ID Indico	Título
40	48	DISEÑO DE PROTECCIÓN RADIOLÓGICA EN QUIRÓFANOS CON EQUIPOS DE RX CON DISPARO REMOTO
41	56	EVALUACIÓN DE LA DOSIS EN CRISTALINO EN TRATAMIENTOS DE QUELOIDES
42	66	PROTOCOLO DE PROTECCIÓN RADIOLÓGICA EN CIRUGÍA RADIOGUIADA MEDIANTE IMPLANTES DE SEMILLAS DE I-125
43	124	PROTOCOLO DE REVISIÓN DE PRENDAS INDIVIDUALES DE PROTECCIÓN CONTRA LAS RADIACIONES IONIZANTES: EXPERIENCIA Y RESULTADOS
44	149	ESTIMATION OF ABSORBED DOSE ON EYE LENS FOR PATIENTS UNDERGOING A CHEST CT
45	158	INMOVILIZACIÓN EN RADIOLOGÍA DIGITAL SIMPLE PEDIÁTRICA
46	161	OPTIMIZACIÓN DE LA DOSIS EN ABLACIONES. UNA EXPERIENCIA DE 10 AÑOS.
47	203	EVALUACIÓN DE PARÁMETROS EN LA VERIFICACIÓN CON PORTAL VISION (PV) COMO INDICADORES DE CALIDAD EN TRATAMIENTOS DE RADIOTERAPIA ESTEREOTÁXICA (SBRT)
48	217	MEJORAS IMPLEMENTADAS EN LA CALIDAD Y SEGURIDAD DE LOS TRATAMIENTOS DE RADIOTERAPIA DEL HOSPITAL UNIVERSITARIO 12 DE OCTUBRE TRAS EL ANÁLISIS DE RIESGOS CON EL SOFTWARE SEVRRRA
49	263	UN AÑO DE ANÁLISIS DOSIMÉTRICO DE SOLAPA, MUÑECA Y CRISTALINO EN RADIOLOGÍA INTERVENCIONISTA
50	272	ANÁLISIS DE LA NECESIDAD DEL USO DE DOSÍMETRO DE CRISTALINO EN EL HOSPITAL DE JAÉN
51	300	CONSIDERACIONES DOSIMÉTRICAS EN EL USO DEL CAMPO QUIRÚRGICO DE PROTECCIÓN RADIOLÓGICA SORBX EN PROCEDIMIENTOS RADIODIAGNÓSTICOS
52	313	LOS GRANDES RETOS PARA MEJORAR LA PROTECCIÓN RADIOLÓGICA EN MEDICINA EN AMÉRICA LATINA
53	333	ANÁLISIS DEL RIESGO RADIOLÓGICO DE LOS TRATAMIENTOS DE CA. DE TIROIDES CON I-131 MEDIANTE EL MÉTODO DE LAS MATRICES DE RIESGO

Seguridad del paciente y Protección Radiológica en el medio sanitario

ID Panel	ID Indico	Título
54	344	ACTUALIZACIÓN DEL PROTOCOLO DE PROTECCIÓN RADIOLÓGICA PARA EL MANEJO DE SEMILLAS DE 125I EN PROCEDIMIENTOS DE CIRUGÍA RADIOGUIADA
55	348	ANÁLISIS DE SEGURIDAD EN LA ADMINISTRACIÓN DE TRATAMIENTOS CON 177LU
56	353	EXPERIENCIA CON LA DOSIS EN SUPERFICIE A LA ENTRADA DEL PACIENTE POR MEDIO DEL RENDIMIENTO
57	356	PROTECCIÓN RADIOLÓGICA TRAS EL ALTA DE PACIENTES TRATADOS CON LU-177 DOTATATE
58	440	EXPERIENCIA DE LA RED LATINOAMERICANA DE PROTECCIÓN RADIOLÓGICA EN MEDICINA
59	451	ANÁLISIS DE RIESGO EN PROCESOS RADIOTERÁPICOS CON UN ACELERADOR LINEAL
60	504	IMPACTO DE LA DOSIMETRÍA OCUPACIONAL EN TIEMPO REAL SOBRE LOS INDICADORES DOSIMÉTRICOS EN UN LABORATORIO DE CARDIOLOGÍA INTERVENCIONISTA
61	545	SEGUIMIENTO DE REGISTRO DE INCIDENCIAS DE PLANIFICACIÓN DE TRATAMIENTOS DE RADIOTERAPIA DEL SERVICIO DE FÍSICA MÉDICA
62	632	PROTECCIÓN RADIOLÓGICA EN EL TRATAMIENTO DE HO-166
63	664	ANÁLISIS DE LAS DOSIS A CRISTALINO A PARTIR DE DOSÍMETROS DE DELANTAL
64	676	PUESTA EN MARCHA DE PROTOCOLO DE CONTROL DE CONTAMINACIÓN EN LA ADMINISTRACIÓN DE RA-223 (XOFIGO)
65	695	DOSIS IMPARTIDAS A PACIENTES EN PROCEDIMIENTOS DE CIRUGÍA VASCULAR Y RADIOLOGÍA INTERVENCIONISTA EN EL HOSPITAL UNIVERSITARIO DE CANARIAS (HUC)

Medida de la Radiación: Detectores y Maniqués. Técnicas de modelado y simulación Monte Carlo

ID Panel	ID Indico	Título
7	59	MANIQUÍ PARA SUSTRACCIÓN DE IMÁGENES EN ANGIOGRAFÍA
8	75	COMPARACIÓN DE LA DEPENDENCIA ANGULAR MEDIDA EN DOS CÁMARAS DE IONIZACIÓN IBA CC13
9	78	DOSIMETRÍA DE CAMPOS PEQUEÑOS, COMPARACIÓN PRIMO CON AAA
10	82	MEDIDA DEL ÍNDICE DE DOSIS EN UN TC DE 320 FILAS DE DETECTORES
11	84	EVALUACIÓN DE LA DOSIS DE EQUILIBRIO EN UN TC DE 320 FILAS DE DETECTORES
12	85	EVALUACIÓN DE LOS PERFILES DE RADIACIÓN EN EL MANIQUÍ TG200 EN UN TC DE 320 FILAS DE DETECTORES
13	86	MEDIDA DE LA ATENUACIÓN DE LOS COMPONENTES DE UNA MÁSCARA DOBLE PARA RADIOCIRUGÍA
14	157	VALIDACIÓN DEL SISTEMA DE SIMULACIÓN MONTE CARLO PRIMO PARA RADIOCIRUGÍA
15	186	EVALUACIÓN DE UN DIODO PIN COMO DETECTOR DE RADIACIÓN
16	191	DISEÑO Y EVALUACIÓN DE UN SISTEMA DE MEDIDA DE DOSIS DE RADIACIÓN BASADO EN DIODOS
17	210	INTERPOLACIÓN DE MÍNIMO GRADIENTE PARA QA CON OCTAVIUS DETECTOR 1500
18	211	ESTUDIO PARA LA VALIDACIÓN DE LA CÁMARA CENTRO DE UN ARRAY DE DETECTORES COMO SUSTITUTO A UNA MICROCÁMARA DE IONIZACIÓN EN LAS VERIFICACIONES PRE-TRATAMIENTOS DE VMAT
19	212	MÉTODO Y EVALUACIÓN DE LA VARIACIÓN DOSIMÉTRICA CON EL GIRO DEL BRAZO MEDIANTE PELÍCULA RADIOCRÓMICA
20	361	CORRECCIÓN DE ATENUACIÓN EN MEDIDAS DE CTDI EMPLEANDO CT DOSE PROFILER
21	452	ESTUDIO DE LOS FACTORES DE CAMPO MEDIDOS EN UN ACELERADOR LINEAL CON ENERGÍAS DE 6 MV Y 6 MV FFF
22	544	ANÁLISIS DE LOS PERFILES DE DOSIS DEL ACELERADOR PORTÁTIL LIAC HWL MEDIDOS CON EL IC PROFILER
23	591	OPTIMIZACIÓN DE DOSIS ABSORBIDA EN SUPERFICIE MEDIANTE ÁCIDO HIALURÓNICO EN TRATAMIENTOS DE RIO
24	619	VERIFICACIÓN DE SOFTWARE "SWL-LIAC SIMULATION"
25	713	PROCEDIMIENTO PARA LA GENERACIÓN DE UNA TABLA DE OFFSETS DE CORRECCIÓN PARA EL MLC EN UN TPS
26	718	EVALUACION DE LAS PROPIEDADES DOSIMÉTRICAS DE UN DETECTOR DE DIAMANTE SINTÉTICO MONOCRISTALINO (SCDD) EN CAMPOS PEQUEÑOS DE FOTONES

Radiobiología

ID Panel	ID Indico	Título
37	147	SOBRE LAS EXTRAPOLACIONES DE LAS DOSIS DE TOLERANCIAS DE LOS ÓRGANOS DE RIESGO
38	446	HETEROGENEIDADES DE DOSIS EN CTV: REPERCUSIÓN TEÓRICA EN LA PCT DEL GLIOBLASTOMA
39	605	DISEÑO DE UN MODELO ANIMAL DE RADIODERMITIS Y EVALUACIÓN DE LA LIBERACIÓN, ABSORCIÓN Y ACCIÓN DE UNA CREMA RADIOPROTECTORA Y MITIGADORA

JUEVES 13 DE JUNIO | de 15:30 h a 16:30 h.

Radioterapia I: Braquiterapia

ID Panel	ID Indico	Título
172	65	EXPERIENCIA CLÍNICA EN TRATAMIENTOS DE BRAQUITERAPIA ENDOBRONQUIAL DE ALTA TASA
173	68	APLICACIONES DE LA IMPRESIÓN 3D EN BRAQUITERAPIA SUPERFICIAL Y RADIOTERAPIA EXTERNA
174	99	OPTIMIZACIÓN DE LA DOSIMETRÍA EN BRAQUITERAPIA EPIESCLERAL CON APLICADORES PERSONALIZABLES
175	107	OPTIMIZACIÓN DE PEDIDOS DE FUENTES RADIATIVAS DE BAJA TASA PARA IMPLANTES DE PRÓSTATA
176	151	ESTIMACIÓN DE LAS DOSIS A LOS ÓRGANOS DE RIESGO CON CORRECCIÓN DE HETEROGENEIDADES EN BRAQUITERAPIA EPIESCLERAL
177	155	EVALUACIÓN DOSIMÉTRICA INDEPENDIENTE DEL SISTEMA DE PLANIFICACIÓN ONCENTRA BRACHY
178	164	CÁLCULO REDUNDANTE EN BRAQUITERAPIA DE ALTA TASA CON CO60
179	166	EFEECTO DEL POSICIONADO DE LA FUENTE EN LA DETERMINACIÓN DEL TKRA EN BRAQUITERAPIA DE ALTA TASA
180	192	APROXIMACIONES COMS EN BRAQUITERAPIA OFTÁLMICA: RESULTADOS PARA 34 PACIENTES
181	199	NUEVO MÉTODO SEMI-AUTOMÁTICO DE RECONSTRUCCIÓN DE APLICADORES GINECOLÓGICOS PLÁSTICOS MEDIANTE LIBRERÍAS DE APLICADORES
182	258	VERIFICACIÓN DE LA TASA DE KERMA EN AIRE DE TRENES DE SEMILLAS DE I-125 CON LAS CÁMARAS DE IONIZACIÓN DE POZO TM33005 Y PLANA TM34051
183	318	CREACIÓN DE MOLDES MEDIANTE FDM (FUSED DEPOSITION MODELING) PARA TRATAMIENTOS DE CÁNCER DE PIEL CON BRAQUITERAPIA DE ALTA TASA
184	322	RADIOTERAPIA INTRAOPERATORIA EN MAMA CON EQUIPO AXXENT. COMPARACIÓN DOSIMÉTRICA CON MAMMOSITE
185	336	EXPERIENCIA EN TRATAMIENTOS DE BRAQUITERAPIA ÚTERO-VAGINAL CON PLANIFICACIÓN SEGÚN CTV
186	342	DISEÑO DE UN MANIQUÍ PARA LA CALIBRACIÓN DE UN SISTEMA DE DOSIMETRÍA IN VIVO EN BRAQUITERAPIA
187	377	VERIFICACIÓN DEL TEMPORIZADOR EN DISPOSITIVOS DE CARGA DIFERIDA MEDIANTE CÁMARA DE VIDEO
188	433	NECESIDAD DE CT Y DOSIMETRÍA PERSONALIZADA EN BRAQUITERAPIA VAGINAL CON APLICADOR CILÍNDRICO
189	445	PRIMEROS RESULTADOS DOSIMÉTRICOS DE IRRADIACIÓN PARCIAL ACELERADA DE MAMA CON TÉCNICA MULTICATÉTER DE BRAQUITERAPIA INTERSTICIAL EN EL CENTRO ONCOLÓGICO DE GALICIA
190	449	ESTIMACIÓN MONTE CARLO DEL EFECTO DEL APLICADOR DE CILINDROS SEGMENTADOS PARA BRAQUITERAPIA CON LA FUENTE VARISOURCE VS2000
191	473	DESARROLLO DE UN PROGRAMA VBA PARA LA GESTIÓN Y VERIFICACIÓN DOSIMÉTRICA EN BRAQUITERAPIA DE PRÓSTATA
192	562	VALIDACIÓN DE LA SECUENCIA 3D CUBE DE RESONANCIA MAGNETICA PARA PLANIFICAR BRAQUITERAPIA GINECOLÓGICA DE CÉRVIX
193	589	INFLUENCIA DE LOS APLICADORES METÁLICOS DE TITANIO EN LA DISTRIBUCIÓN DE TASA DE DOSIS DE UNA FUENTE DE ^{60}Co PARA BRAQUITERAPIA
194	592	PUESTA EN MARCHA DEL APLICADOR FREIBURG PARA PLESIOTERAPIA
195	594	CARACTERIZACIÓN Y USO DE MOSFET PARA DOSIMETRÍA IN VIVO EN BRAQUITERAPIA DE ALTA TASA
196	612	TOXICIDADES EN BRAQUITERAPIA GINECOLÓGICA HDR. VALORACIÓN DE TOXICIDADES EN FUNCIÓN DEL GRADO DE HOMOGENEIDAD EN EL DISEÑO DEL TRATAMIENTO

Radioterapia I: Braquiterapia

ID Panel	ID Indico	Título
197	637	ANÁLISIS DE UN PROGRAMA VBA DE VERIFICACIÓN SECUNDARIA EN BRAQUITERAPIA HDR Y LDR
198	648	CONTROL DE CALIDAD EQUIPO ULTRASONIDOS BRAQUITERAPIA
199	666	IMPLEMENTACIÓN DE UN PROGRAMA PARA EL ESTUDIO DE LA COINCIDENCIA FUENTE REAL-FUENTE DE SIMULACIÓN EN BRAQUITERAPIA
200	680	SIMULACIÓN MONTECARLO DE LA DISTRIBUCIÓN DE DOSIS DE LA FUENTE DE HDR MODELO BEBIG CO0.A86
201	689	VERIFICACIÓN DEL ALGORITMO DE CÁLCULO ACE® PARA BRAQUITERAPIA Y COMPARACIÓN CON EL TG43
202	707	ADAPTACIÓN DE UN NOMOGRAMA EN BRAQUITERAPIA DE PROSTATA LDR
203	716	CARACTERIZACIÓN DE LA TRAYECTORIA POR LA FUENTE EN EL APLICADOR VENEZIA

Radioterapia II: Dosimetría de Pacientes

ID Panel	ID Indico	Título
205	31	PLANIFICACION DE TRATAMIENTOS PALIATIVOS COMPLEJOS MEDIANTE SEGMENTOS SENCILLOS DISEÑADOS POR DOSIMETRÍA INVERSA (STEP&SHOOT)
206	32	PLANIFICACION DE TRATAMIENTOS DE MAMA MEDIANTE UNA TECNICA SIMPLE DE DOSIMETRIA INVERSA STEP&SHOOT
209	45	RADIOTERAPIA HOLOCRAANEAL CON PROTECCIÓN DE HIPOCAMPOS
211	52	TRATAMIENTO RADICAL PLANTEADO CON TÉCNICAS VOLUMÉTRICAS CON UNIÓN DE BAJO GRADIENTE DE DOSIS COMO TÉCNICA EFICAZ PARA EL TRATAMIENTO DE PATOLOGÍA PULMONAR ALTAMENTE INVASIVA
212	53	TOMOTERAPIA Y TÉCNICAS DE VMAT. COMPARACIÓN DE TRATAMIENTO RADICAL PARA EL CASO DEL MESOTELIOMA PLEURAL MALIGNO (MPM).
213	57	MODELOS PREDICTIVOS DE LAS MÉTRICAS DEL HISTOGRAMA DE RECTO Y VEJIGA EN TRATAMIENTOS DE IMRT DE PRÓSTATA
216	87	EVALUACIÓN INICIAL DE UN NUEVO SISTEMA DE INMOVILIZACIÓN PARA SBRT PULMONAR
217	89	IMPLANTACIÓN DE UN FLUJO DE TRABAJO "PAPERLESS" EN RADIOTERAPIA A PARTIR DE VÍAS CLÍNICAS EN ARIA
218	90	FLUJO DE TRABAJO MÁS EFICIENTE MEDIANTE EL USO DE PROTOCOLOS CLÍNICOS
219	91	RESULTADOS DOSIMÉTRICOS DE PLANIFICACIONES DE SBRT PULMONAR CON VMAT
220	92	EVALUACIÓN DE LA DOSIS TOTAL DE UN TRATAMIENTO COMBINADO DE RADIOTERAPIA INTRAOPERATORIA Y RADIOTERAPIA EXTERNA
223	98	ESTUDIO DE LA VIABILIDAD DEL CAMBIO DE DENSIDAD ELECTRÓNICA DEL ITV EN TRATAMIENTOS DE SBRT PULMONAR REALIZADOS EN MONACO, RESULTADOS PRELIMINARES
224	102	PLANIFICACIÓN COMPARATIVA DE UNA MAMA BILATERAL CON UN SOLO ISOCENTRO: 3D CONFORMADA VS IMRT
228	108	ESTIMACIÓN DE LA MÍNIMA DISTANCIA PARA EVITAR EL SOLAPAMIENTO ENTRE CAMPOS DE ELECTRONES
229	109	TÉCNICA HÍBRIDA FORWARD IMRT & VMAT PARA EL TRATAMIENTO DE BOOST INTEGRADO SIMULTÁNEO DE MAMA EN RADIOTERAPIA
231	114	TRATAMIENTO DE HOLOCRAÓNEO CON PROTECCIÓN DE HIPOCAMPO (HA-WBRT) Y BOOST SIMULTÁNEO INTEGRADO (SIB) PARA METÁSTASIS MÚLTIPLES. ESTUDIO COMPARATIVO ENTRE TOMOTERAPIA E IMRT EN ACELERADOR CONVENCIONAL
236	138	IMPLICACION EN LA RADIOTERAPIA DEL CÁNCER DE MAMA DE LA PRESENCIA DE DISPOSITIVOS INTRATORÁDICOS
238	146	ESTIMACIÓN DE MÁRGENES EN EL PTV EN TRATAMIENTOS DE PRÓSTATA CON HIPOFRACCIONAMIENTO MODERADO
239	148	DISEÑO Y AUTOMATIZACIÓN DE UN PROTOCOLO ENAL DE VERIFICACIÓN Y CORRECCIÓN DE POSICIONAMIENTO EN RADIOTERAPIA EXTERNA
242	153	DESPLAZAMIENTOS DE MESA CON EL PROTOCOLO NAL ¿CUÁL ES EL UMBRAL ÓPTIMO A PARTIR DEL CUAL REALIZAR DESPLAZAMIENTOS?
246	169	DETECCIÓN DE ESTRUCTURAS EN MOVIMIENTO EN ESTUDIOS PULMONARES DE MVCT DE TOMOTERAPIA

Radioterapia II: Dosimetría de Pacientes

ID Panel	ID Indico	Título
250	180	OSIFICACION HETEROTÓPICA EN EL CODO: TRATAMIENTO RADIOTERAPICO EMPLEADO, RESULTADOS Y EVOLUCIÓN POSTERIOR
252	185	EVALUACIÓN DE LA CÁMARA 3D ORBBEC ASTRA S PARA SU USO EN RADIOTERAPIA GUIADA POR SUPERFICIE
254	189	ESTIMACIÓN DE LA DOSIS RECIBIDA POR LESIONES MÓVILES
255	193	ESTUDIO DE LA ARCOTERAPIA VOLUMÉTRICA MODULADA CON TASA DE DOSIS CONSTANTE COMO ALTERNATIVA A LA RADIOTERAPIA DE INTENSIDAD MODULADA DE CAMPOS ESTÁTICOS EN MODALIDAD SLIDING WINDOWS PARA TRATAMIENTOS DE PRÓSTATA
256	196	COMPARATIVA DE OBJETIVOS GEUD CON OBJETIVOS DVH EN TRATAMIENTOS DE PRÓSTATA CON VMAT PLANIFICADOS CON PINNACLE
259	209	EFECTO DE LA ANATOMÍA DEL RECTO Y VEJIGA SOBRE EL MOVIMIENTO INTRAFRACCIÓN DE LA PRÓSTATA EN UN TRATAMIENTO HIPOFRACCIONADO
260	214	PLANIFICACIÓN DE UNA IRRADIACIÓN CORPORAL TOTAL (TBI) MEDIANTE UN PLANIFICADOR ECLIPSE®
261	215	IRRADIACIÓN BILATERAL DE MAMA MEDIANTE TÉCNICA VMAT MONOISOCÉNTRICA
262	219	COMPARATIVA DE LA IRRADIACIÓN DE MAMA EN VMAT CON DIFERENTES CONFIGURACIONES DE ARCOS
263	229	SIMULACIÓN DEL MOVIMIENTO RESPIRATORIO PARA SBRT DE PULMÓN TRATADO CON LA TÉCNICA DE VMAT
264	230	OPTIMIZACIÓN DEL POSICIONAMIENTO PRONO EN EL CARCINOMA DE MAMA
265	246	INTENSIFICACIÓN DE DOSIS DE RADIOTERAPIA EN LESIÓN DOMINANTE INTRAPROSTÁTICA MEDIANTE LA TÉCNICA DE MODULACIÓN VOLUMÉTRICA DE ARCO PARA EL TRATAMIENTO DE CÁNCER DE PRÓSTATA LOCALIZADO (CLINICAL TRIAL CAP-VMAT-DIL; NTC03030625)
266	248	COMPARACIÓN DE DOSIMETRÍAS EN TRATAMIENTOS DE CÁNCER DE MAMA CON TÉCNICA IMRT Y VMAT
267	250	INFLUENCIA EN LA DOSIMETRÍA DEBIDA A LA ELECCIÓN DE LA ESTRUCTURA OBJETIVO DE OPTIMIZACIÓN EN RADIOTERAPIA HOLOCRAEAL CON PROTECCIÓN DE HIPOCAMPOS EMPLEANDO VMAT.
272	281	SBRT DE CÁNCER DE PULMÓN CON TOMOTERAPIA Y ESTUDIO COMPARATIVO CON UN ACELERADOR LINEAL.
275	286	ESTUDIO DE SBRT DE PRÓSTATA CON TOMOTERAPIA
279	297	SBAP: UN ALGORITMO AUTOMATIZADO PARA GENERAR VOLÚMENES EN FORMA DE CAPAS EN OPTIMIZACIÓN DE PLANES IMRT EN PHILIPS PINNACLE
281	299	COMPARACIÓN RADIOBIOLÓGICA DE TÉCNICA DE LÁGRIMA PARA PLANEACIÓN DE TRATAMIENTOS DE CÁNCER DE MAMA EN UN SISTEMA DE TOMOTERAPIA
283	303	IRRADIACIÓN PROFILÁCTICA CRANEAL CON PROTECCIÓN DE HIPOCAMPO MEDIANTE IMRT DINÁMICA (SLIDING WINDOW)
284	304	MÁRGENES DEL PTV DESDE EL ITV EN SBRT DE PULMÓN CON CBCT-TC4D COMO SISTEMA DE GUIADO
285	305	VERIFICACIÓN DE LOS LÍMITES DE DOSIS ABSORBIDA PARA PLANIFICACIONES CON ACUROSXB
286	306	EFICACIA DEL SISTEMA DE INMOVILIZACIÓN DE SBRT DE PULMÓN USANDO EN EL H.U 12 DE OCTUBRE
287	307	PLANIFICACIÓN INVERSA CON ACUROSXB EN VOLÚMENES QUE CONTENGAN AIRE: PROBLEMÁTICA Y SOLUCIÓN
290	317	ESTUDIO DE PARÁMETROS DOSIMÉTRICOS PARA SBRT DE PULMÓN CON VARIOS VOLÚMENES DE TRATAMIENTO
291	323	PLANIFICACIÓN BASADA EN EL CONOCIMIENTO. PRIMERAS IMPRESIONES CON RAPIDPLANTM
292	324	CALIBRACIÓN DE TC Y COMPARATIVA DE PLANIFICACIÓN
293	327	MARCAPASOS EN IRRADIACIÓN DE MAMA: NUESTRA EXPERIENCIA CLÍNICA.
294	330	VIABILIDAD DE LA REDUCCIÓN DE MÁRGENES EN SBRT PULMONAR CON TOMOTERAPIA PARA PATRONES RESPIRATORIOS PERIÓDICOS
296	337	ANÁLISIS DE LOS MÁRGENES EN SBRT PULMONAR
298	347	CUANTIFICACIÓN DEL EFECTO INTERPLAY EN CÁNCER DE PULMÓN.
299	352	OPTIMIZACIÓN AUTOMÁTICA DE PLANIFICACIONES DE MAMA IZQUIERDA CON EL PLANIFICADOR MONACO
300	357	TRATAMIENTO HIPOFRACCIONADO DE MAMA CON BOOST INTEGRADO DE ELECTRONES
307	376	SEGUNDO ANÁLISIS MARR TRAS LA IMPLEMENTACIÓN DE NUEVAS BARRERAS
313	407	IMPLEMENTACIÓN DE LA VMAT PARA EL TRATAMIENTO DEL MEDULOBLASTOMA

Radioterapia II: Dosimetría de Pacientes

ID Panel	ID Indico	Título
315	424	COMPARACIÓN DEL IC EN TRATAMIENTOS DE RCU USANDO LA TÉCNICA DE ARCOTERAPIA DINÁMICA CONFORMACIONAL 3D, (3D-DCA) CON ARCOS NO COPLANARES, EN FUNCIÓN DE LAS AMPLITUDES DE ARCO
317	434	AUTOMATIZACIÓN DE TAREAS EN ECLIPSE CON AUTOHOTKEY
319	443	EVALUACIÓN DEL INCREMENTO DE DOSIS EN MAMA HIPOFRACCIONADA DEBIDO A LA SOBREPRESIÓN DEL LECHO TUMORAL
320	447	CREACIÓN AUTOMÁTICA DE SUBVOLÚMENES PTV PARA SU OPTIMIZACIÓN EN HISTOGRAMA: ALGORITMO Y MACRO
321	453	VERIFICACIÓN DEL SISTEMA 4D DEVICELESS DE GE PARA LA DEFINICIÓN DEL ITV EN PULMÓN
323	476	ON THE VALIDITY OF DENSITY OVERRIDES FOR LUNG PTV THROUGH MODEL THEORY
324	480	APLICACIONES DE LA RADIOTERAPIA ADAPTADA EN LA RUTINA CLÍNICA
325	482	INCERTIDUMBRE INTRAFRACCIÓN EN SBRT DE PÁNCREAS
326	484	MOVIMIENTO RESPIRATORIO EN TUMORES DE PÁNCREAS TRATADOS CON SBRT
328	489	IMPLEMENTACIÓN EN LA RUTINA CLÍNICA DIARIA DEL PROTOCOLO DE RADIOTERAPIA GUIADA POR LA IMAGEN Y VALORACIÓN DE LA RADIOTERAPIA ADAPTADA
329	490	VARIABILIDAD DE LA AMPLITUD RESPIRATORIA EN TRATAMIENTOS DE SBRT
332	494	INCERTIDUMBRE INTRAFRACCIÓN EN SBRT DE HÍGADO
333	497	PROCEDIMIENTO PARA EVALUAR RÁPIDAMENTE LA NECESIDAD ADAPTATIVA DE UN TRATAMIENTO DE ONCOLOGÍA RADIOTERÁPICA
335	500	DATOS DOSIMÉTRICOS EN TRATAMIENTOS HIPOFRACCIONADOS CON VMAT EN CA DE MAMA LOCALMENTE AVANZADA: RESULTADOS PRELIMINARES
336	503	¿ES ADECUADO APROXIMAR LA INCERTIDUMBRE DEL MOVIMIENTO RESPIRATORIO COMO UN TERCIO DE LA AMPLITUD DE PICO A PICO?
339	518	ANÁLISIS DE MÁRGENES ITV-PTV EN SBRT DE PULMÓN Y SU INFLUENCIA EN LA COBERTURA DEL GTV EN CADA FRACCIÓN DE TRATAMIENTO
340	519	ESTUDIO DE LAS INTERRUPCIONES PARA TRATAMIENTOS DE CABEZA Y CUELLO CON VMAT
344	525	METODOLOGIA PARA LA IRRADIACION CORPORAL TOTAL (TBI) CON TOMOTERAPIA HELICOIDAL
347	537	VERIFICACIÓN GEOMÉTRICA DE COLISIONES MEDIANTE SIMULACIÓN 3D VIRTUAL DE ACELERADOR ELEKTA SYNERGY
348	539	VARIACIÓN DEL VOLUMEN DE LAS GLÁNDULAS PARÓTIDAS DURANTE LA RADIOTERAPIA
351	543	DIFERENCIAS EN EL TRATAMIENTO DE RADIOTERAPIA ESTEROTÁCTICA CRANEAL CON EL MICROMULTILÁMINAS APEX FRENTE AL MULTILÁMINAS AGILITY
352	551	IMPLEMENTACIÓN Y AUTOMATIZACIÓN DEL FLUJO DE TRABAJO DE RADIOTERAPIA EXTERNA EN MOSAIQ
356	567	PROTOCOLO DE IGRT EN TRATAMIENTOS DE SBRT PULMONAR
357	568	PLANIFICACIÓN AUTOMATIZADA DE TRATAMIENTOS 3DCRT
358	577	RADIOTERAPIA EXTERNA DE INTENSIDAD MODULADA TRAS BRAQUITERAPIA EN CÁNCER DE PRÓSTATA RECURRENTE
364	603	COMPARACIÓN ENTRE TÉCNICAS DE RADIOTERAPIA DE INTENSIDAD MODULADA EN CÁNCER DE PRÓSTATA.
366	608	REPERCUSIÓN DE MOVIMIENTOS LONGITUDINALES NO CÍCLICOS EN SBRT VERTEBRAL CON TOMOTERAPIA
368	614	COMPARACIÓN DE LA PRECISIÓN DEL POSICIONAMIENTO PARA SBRT PULMONAR USANDO DOS SISTEMAS DE INMOVILIZACIÓN DIFERENTES
372	633	TRATAMIENTOS DE SBRT ADRENAL EMPLEANDO LA TÉCNICA DE DAMPENING CON EL SISTEMA DE INMOVILIZACIÓN EXACRADLE
373	634	EXPERIENCIA DE SBRT DE PULMÓN EN EL HOSPITAL DO MEIXOEIRO DE VIGO
375	638	IRRADIACIÓN CORPORAL TOTAL CON ARCOTERAPIA VOLUMÉTRICA DE INTENSIDAD MODULADA
376	641	COMPARACIÓN DOSIMÉTRICA DE TECNICA HIBRIDA IMRT Y VMAT PARA CASOS CLÍNICOS DE CÁNCER DE CABEZA Y CUELLO
377	655	COMPARATIVA 3D-CRT VS IMRT EN TRATAMIENTOS DE MAMA CON AFECTACIÓN DE CADENA GANGLIONAR MAMARIA INTERNA

Radioterapia II: Dosimetría de Pacientes

ID Panel	ID Indico	Título
378	657	COMPARACIÓN DEL IMPACTO SOBRE DOS TÉCNICAS DE IRRADIACIÓN PARA EL TRATAMIENTO DEL CÁNCER DE MAMA DE LA VARIACIÓN DEL POSICIONAMIENTO DEL ISOCENTRO
380	665	OPTIMIZACIÓN DEL PROCESO RADIOTERÁPICO CON LA PUESTA EN MARCHA DE UN ACELERADOR VERSA HD (ELEKTA)
384	682	INFLUENCIA DE LA LONGITUD DE ARCO EN TRATAMIENTOS DE VMAT SOBRE LOS ÓRGANOS DE RIESGO
385	694	NUEVA TÉCNICA DE ARCOTERAPIA MONOISOCÉNTRICA PARA CARCINOMA DE MAMA BILATERAL
386	698	SBRT EN METÁSTASIS HEPÁTICAS. EVALUACIÓN DE DOSIS IMPARTIDA EN OAR MÁS PRÓXIMO POR MEDIO DEL REGISTRO DEFORMABLE DE IMAGEN
388	708	VARIACIÓN DE LA COMPLEJIDAD DE LOS PLANES DE TRATAMIENTO COMO FUNCIÓN DEL ALGORITMO DE OPTIMIZACIÓN
390	714	TRATAMIENTOS DE PRÓSTATA CON MARC VS. IMRT. ANÁLISIS DE LOS OBJETIVOS DOSIMÉTRICOS ESTRATIFICADO POR LA EXTENSIÓN DEL VOLUMEN BLANCO
392	719	IMPLEMENTACIÓN DE VMAT PARA IRRADIACIÓN TOTAL DE MÉDULA ÓSEA (TMI) COMO ALTERNATIVA A LA IRRADIACIÓN CORPORAL TOTAL (TBI) CONVENCIONAL
395	729	UNA LISTA DE FÍSICA OPTIMIZADA EN PRECISIÓN Y VELOCIDAD PARA SIMULACIÓN DE RADIOTERAPIA EXTERNA CON GEANT4

Radioterapia III: Algoritmos de calculo

ID Panel	ID Indico	Título
204	27	EVALUACIÓN DOSIMÉTRICA DE PLANES DE IMRT USANDO LOS GOLDEN BEAM DATA DE VARIAN
207	34	VERIFICACIÓN DE HACES DE RADIACIÓN USANDO DATOS DE REFERENCIA PUBLICADOS
214	70	ALGORITMO AXB FRENTE A AAA EN SBRT ESPINAL
215	71	COMPARACIÓN DEL ALGORITMO AXB CON EL AAA EN LAS PLANIFICACIONES DE SBRT DE PULMÓN
221	94	VOLUMEN DE CÁLCULO OCULTO EN ECLIPSE CON AAA
222	95	VERIFICACIÓN EXPERIMENTAL DEL CÁLCULO DE LA DOSIS EN PIEL PARA TRATAMIENTOS EN MAMA
225	104	DOSIMETRIA EN ICT MEDIANTE PLACA EBT3
227	106	ANÁLISIS CUANTITATIVO AUTOMATIZADO, CON PYLINAC, DE UN SISTEMA RAPIDARC: UN AÑO DE EXPERIENCIA
230	112	DOS AÑOS DE RESULTADOS EN LA VERIFICACIÓN DE LOS EQUIPOS DE RADIOTERAPIA GUIADA CON LA IMAGEN MEDIANTE EL MANIQUÍ ACRÍLICO DE RADIATION PRODUCTS DESIGN
232	119	CONTROL DE CALIDAD DE TRATAMIENTOS DE SBRT CON VMAT
233	120	APLICACIÓN PRÁCTICA DE LAS RECOMENDACIONES DEL INFORME AAPM TG-218
235	129	MEDIDA DE SIMETRÍA CON QUICKCHECK
237	140	CORRELACIÓN DEL ÍNDICE GAMMA Y DIFERENCIAS DOSIMÉTRICAS CLÍNICAS EN LAS VERIFICACIONES PRE-TRATAMIENTO DE VMAT EN SISTEMAS 2D Y 3D
240	150	DETECTABILIDAD DE ERRORES EN CAMPOS ESTÁTICOS EN EL MLC AGILITY EMPLEANDO UN SOFTWARE DE ELABORACIÓN PROPIA
241	152	MEDIDA DE LA DOSIS PERIFÉRICA SUPERFICIAL EN UN ACELERADOR LINEAL DE ELECTRONES: COMPARATIVA ENTRE HACES CON (FF) Y SIN FILTRO APLANADOR (FFF) EMPLEANDO PELÍCULA RADIOCRÓMICA EBT3
243	156	IMPLANTACIÓN DE SISTEMA DE GESTIÓN DE BASE DE DATOS QA TRACK+
244	160	IMPLICACIONES DOSIMÉTRICAS DEL CÁLCULO DOSIS AGUA DOSIS MEDIO
245	163	CONTROL DE CALIDAD PRETRATAMIENTO CON SISTEMA DE IMAGEN PORTAL IVIEWGT
247	173	HERRAMIENTA WEB PARA EL CONTROL DE CALIDAD DE UN ALE TRUEBEAM
248	174	VERIFICACIÓN SECUNDARIA MEDIANTE MONTECARLO DEL CÁLCULO DE DOSIS EN PLANIFICACIONES DE SBRT DE PULMÓN CON ACUROS XB
249	175	EVALUACIÓN DEL FUNCIONAMIENTO DEL MLC DEL TRUEBEAM UTILIZANDO LA INFORMACIÓN RECOGIDA DIARIAMENTE EN LOS TRAJECTORY LOGS
251	184	COMPARACIÓN ENTRE DOS MÉTODOS DE CÁLCULO DE DOSIMETRÍA PORTAL
253	188	COMPARACIÓN ENTRE DAILYQA Y MACHINE PERFORMANCE CHECK PARA LA VERIFICACIÓN DIARIA DE LA CONSTANCIA DE LA DOSIS ABSORBIDA DE REFERENCIA
258	198	ADAPTACIÓN DE UN MANIQUÍ COMERCIAL DE CONTROL DE CALIDAD TC PARA SU USO EN SIMULACIÓN VIRTUAL DE RADIOTERAPIA

Radioterapia III: Algoritmos de calculo

ID Panel	ID Indico	Título
268	256	ADAPTACIÓN DEL IAEA-TECDOC-1583 A LA PUESTA EN MARCHA DE TÉCNICAS MODULADAS
269	271	EXACTITUD DE POSICIONAMIENTO DE LOS MLC AGILITY Y MILLENIUM EN FUNCIÓN DEL ÁNGULO DE GANTRY
270	274	EVALUACIÓN ANUAL DE LOS RESULTADOS DE LA PRUEBA DE COINCIDENCIA LUZ-RADIACIÓN IMPLEMENTADA CON UN PROGRAMA DE ELABORACIÓN PROPIA
271	276	OPTIMIZACIÓN DEL DOSIMETRIC LEAF GAP EN MOBIUS3D PARA TÉCNICAS MODULADAS
273	283	QUALITY ASSURANCE OF REGISTRATION ALGORITHMS IN ECLISE 13.7 USING THE GUIDELINES OF THE AAPM TG132
274	284	¿ES SUFICIENTE EL ANÁLISIS GAMMA 2D PARA TÉCNICAS VOLUMÉTRICAS?
276	291	CONTROL DE CALIDAD DEL MLC DINÁMICO CON IMAGEN PORTAL
277	292	EXACTITUD DEL SISTEMA DE CÁLCULO ECLIPSE PARA PLANIFICACIÓN RADIOQUIRÚRGICA MEDIANTE INTENSIDAD MODULADA
278	296	ANÁLISIS ESTADÍSTICO DE LOS CRITERIOS DE ACEPTACIÓN DURANTE LA VERIFICACIÓN QA DE TRATAMIENTOS DE VMAT
280	298	CONTROL DE CALIDAD, DOSIMETRÍA FÍSICA Y CLÍNICA REALIZADA EN UN ACELERADOR DE ELECTRONES MÓVIL PARA RADIOTERAPIA INTRAOPERATORIA MOBETRON
282	301	CONTROL DE CALIDAD PRE-TRATAMIENTO DE PLANES VMAT
288	311	INFLUENCIA DE LA TASA EN PRUEBAS DE CONTROL DE CALIDAD EN EL ELEKTA SYNERGY EMPLEANDO EL EPID
295	331	NUEVO PROCEDIMIENTO PARA ALTA CONFORMACIÓN EN TERAPIA SUPERFICIAL
297	346	EVALUACIÓN DEL MÓDULO "WINSTON-LUTZ" DE LA PLATAFORMA PYLINAC
301	360	PUESTA EN MARCHA DE COMPASS PARA TÉCNICAS DE VMAT
302	362	DESARROLLO DE UN PROGRAMA INFORMÁTICO PARA PREDECIR COLISIONES EN RADIOTERAPIA EXTERNA CON ACELERADOR LINEAL
303	363	INCORPORACIÓN Y SEGUIMIENTO DE NUEVOS INDICADORES EN EL PROCESO DE PLANIFICACIÓN Y SU REPERCUSIÓN EN EL SISTEMA DE GESTIÓN DE CALIDAD
304	365	UN CUADRO DE MANDOS PARA RADIOFÍSICA
306	374	10 AÑOS DE EXPERIENCIA CON DOSIMETRÍA PORTAL EN LA VERIFICACIÓN PRE-TRATAMIENTO DE PLANES IMRT
308	385	COMPARATIVA DE ESTABILIDAD DE CÁMARAS DE IONIZACIÓN EMPLEADAS EN DOSIMETRÍA ABSOLUTA EN RADIOTERAPIA
309	394	ESTUDIO DE LA INFLUENCIA DE LA VELOCIDAD DEL BRAZO Y LA TASA DE DOSIS EN LOS TRATAMIENTOS DE SBRT DE PRÓSTATA CON VMAT
310	397	MEDIDAS DE LA CALIDAD DEL HAZ Y DE LA DOSIS DE REFERENCIA PARA LOS HACES SIN FILTRO
311	403	EVALUACIÓN DE LA EXACTITUD POSICIONAL DE LAS LÁMINAS DEL MLC USANDO EL TEST "PICKET FENCE"
312	405	COMPROBACIÓN DE VERIFICACIONES DE TRATAMIENTOS DE IMRT CON HEMICAMPOS
318	442	ANÁLISIS DE MÉTRICAS DE COMPLEJIDAD Y PREDICCIÓN DEL ÍNDICE GAMMA EN TRATAMIENTOS CON VMAT
322	475	COMPENSACIÓN DE DOSIS DEBIDO A LA DEPENDENCIA ANGULAR EN UNA MATRIZ 2D DE DIODOS
327	486	END-TO-END TEST UTILIZANDO MANIQUÍ EASY CUBE®
330	491	PUESTA EN MARCHA DE LA MESA 6D EN UN ACELERADOR LINEAL PARA TRATAMIENTOS DE ONCOLOGÍA RADIOTERÁPICA
331	493	GESTIÓN DE UNA BASE DE DATOS CON MEDIDAS E INFORMES DE CONTROL DE CALIDAD DE RADIOTERAPIA
334	498	VERIFICACIÓN DOSIMÉTRICA EN LAS ZONAS DE UNIÓN DE CAMPOS EN TRATAMIENTOS CRANEOESPINALES CON VMAT
337	505	DOSIMETRÍA IN VIVO CON DOSIMETRY CHECK: EXPERIENCIA CLÍNICA INICIAL
338	509	VERIFICACIÓN PRETRATAMIENTO DE PLANIFICACIONES CRANEO-ESPINALES CON TOMOTERAPIA Y SNC ARCCHECK
341	520	ESTABILIDAD Y PRECISIÓN DEL SISTEMA OBI RESPECTO AL GIRO DE GANTRY
342	521	OPTIMIZACIÓN DE LA VERIFICACIÓN PRE-TRATAMIENTO PARA RADIOCIRUGÍA DE SESIÓN ÚNICA
343	522	ACEPTACIÓN SRSMAPCHECK COMO HERRAMIENTA DE VERIFICACIÓN DE RADIOCIRUGÍAS

Radioterapia III: Algoritmos de calculo

ID Panel	ID Indico	Título
346	531	ESTUDIO DE LA RESPUESTA DEL SRS MAPCHECK FRENTE A DISTINTAS GEOMETRÍAS
349	540	USO DEL SISTEMA IVIEWDOSE COMO HERRAMIENTA DE VERIFICACIÓN PRETRATAMIENTO
350	541	PROGRAMA PARA EL ANÁLISIS AUTOMÁTICO DE GRUPOS DE IMÁGENES DEL TEST DE WINSTON-LUTZ EN IMAGEJ
354	556	EVALUACIÓN DOSIMÉTRICA DE TRATAMIENTOS DE MAMA CON RADIOTERAPIA EXTERNA CON LA TÉCNICA DE DEEP INSPIRATION BREATH HOLD
355	564	APLICACIÓN MATLAB LINACQA PARA ANÁLISIS DE IMÁGENES MV
359	578	INFLUENCIA DE LA POSICIÓN DEL ISOCENTRO EN LA VERIFICACIÓN DE PLANES DE TRATAMIENTO
360	582	CONTROL DE LA ESTABILIDAD DEL GAP DINÁMICO DE UN COLIMADOR MULTILÁMINA (MLC) PARA SU USO EN TÉCNICAS MODULADAS DE RADIOTERAPIA CON UNA MATRIZ DE CÁMARAS DE IONIZACIÓN
361	599	EVALUACIÓN DE LA DETECTABILIDAD DE ERRORES EN EL POSICIONAMIENTO DEL CML
362	600	USO DEL BOLUS EN TRATAMIENTOS CON VMAT
363	602	ESTUDIO DE LA RESPUESTA DEL SRS MAPCHECK AL VARIAR EL ÁNGULO DE INCIDENCIA
365	607	INFLUENCIA DE LA MESA EN LOS RESULTADOS DEL OCTAVIUS 4D EN UN VERSA HD
367	609	CONTROL DE CALIDAD DIARIO DEL ACELERADOR TRUE BEAM STX CON SISTEMA MACHINE PERFORMANCE CHECK (MPC)
369	621	DETERMINACIÓN DEL PARÁMETRO DLG A PARTIR DE DISTINTOS CASOS DE PLANIFICACIONES VMAT
370	623	COMISIONADO DEL SISTEMA DE DOSIMETRÍA INVIVO IVIEWDOSE
371	629	COMPARACIÓN DOSIMÉTRICA ENTRE ALGORITMOS TIPO-B Y TIPO-C EN LA PLANIFICACIÓN DE SBRT DE PULMÓN
374	635	VERIFICACIÓN DE DOSIS DE MODOS SIN FILTRO MEDIANTE EL SISTEMA DE IMAGEN PORTAL:
379	661	DESARROLLO DE UNA APLICACIÓN PARA EL ANÁLISIS DE CONTRASTE-RESOLUCIÓN DEL EPID
381	670	IMPLANTACIÓN DE UN PROTOCOLO DE CONTROL DE CALIDAD PARA CT4D
382	675	CONTROL DE CALIDAD DE LAS CUÑAS MEDIANTE UN PROCEDIMIENTO DE DOBLE EXPOSICIÓN
383	681	QA DE PARÁMETROS DEL HAZ EN IRRADIACIONES DINÁMICAS CON OCTAVIUS4D
387	699	PRUEBAS PARA PUESTA EN MARCHA Y CONTROL DE CALIDAD DE VMAT E IMRT CON UNA MATRIZ DE DETECTORES
391	717	HERRAMIENTA DE RECÁLCULO POR MONTE CARLO, DEL SISTEMA DE PLANIFICACIÓN MONACO DE ELEKTA, DE TRATAMIENTOS CALCULADOS POR OTROS SISTEMAS DE PLANIFICACIÓN
393	722	INFLUENCIA DE LA TASA DE RADIACIÓN EN LA SIMETRÍA DE UN HAZ DE FOTONES
394	728	¿CÓMO AFECTA A LA VERIFICACIÓN DE UNA VMAT EL CAMBIO DE DOSIS DE TRATAMIENTO?
396	733	FIRST CLINICAL EXPERIENCE AND EVALUATION OF DOSECHECK – A SECONDARY DOSE CALCULATION SOLUTION
397	734	INFLUENCIA DE VARIOS FACTORES EN LOS RESULTADOS DE LA PRUEBA DE ÍNDICE GAMMA OBTENIDOS CON UN DETECTOR TRIDIMENSIONAL

Radioterapia IV: Imagen en radioterapia y modelos predictivos

ID Panel	ID Indico	Título
208	44	COMPARACIÓN DE TRES PROGRAMAS DE CÁLCULO DE CARACTERÍSTICAS RADIÓMICAS
210	51	OPTIMIZACIÓN Y VALIDACIÓN DE SISTEMA DE SEGMENTACIÓN SEMIAUTOMÁTICA SOMETIDO AL CONTORNEO DEL CORAZÓN CON IMÁGENES DE TC CON CONTRASTE
226	105	EVALUACIÓN DE LOS REGISTROS DEFORMABLES EN PACIENTES DE CABEZA Y CUELLO TRATADOS EN RADIOTERAPIA MEDIANTE DIFERENTES MÉTRICAS
234	122	VERIFICACIÓN CLÍNICA DEL ALGORITMO DE RECONSTRUCCIÓN TC DIRECT DENSITYTM DE SIEMENS
257	197	3DSLICER. SEGMENTACIÓN SEMIAUTOMÁTICA DE LESIONES EN PATOLOGÍA PULMONAR Y CEREBRAL. VALIDACIÓN DEL SOFTWARE Y VERIFICACIÓN DEL CONTORNEO REALIZADO EN UNA INTERCOMPARACIÓN ESPECIALISTA- MÁQUINA
289	315	PAPEL DE LA IMAGEN DE RESONANCIA MAGNÉTICA MULTIPARAMÉTRICA EN LA IMPLEMENTACIÓN DE RADIOTERAPIA FOCAL SOBRE NÓDULO DOMINANTE EN CÁNCER DE PRÓSTATA
305	371	MODELO PREDICTIVO DE FIBROSIS TARDÍA EN RADIOTERAPIA DE CÁNCER DE MAMA
314	416	IMPLEMENTACIÓN DE ALGORITMOS MAR PARA EL PROCESADO DE IMÁGENES TC MEDIANTE HERRAMIENTAS LIBRES DE PROGRAMACIÓN

Radioterapia IV: Imagen en radioterapia y modelos predictivos

ID Panel	ID Indico	Título
316	431	APLICACIÓN WEB PARA EL ESTUDIO DE TOXICIDADES EN TRATAMIENTOS DE RADIOTERAPIA APLICANDO TÉCNICAS DE MINERÍA DE TEXTOS
345	528	ESTUDIO DEL BOLUS DE ALTA DENSIDAD EXASKIN PARA SU USO EN TRATAMIENTOS CON TOMOTERAPIA HELICOIDAL
353	554	OBTENCIÓN DE IMÁGENES CBCT 4D EN UN ACCLERADOR VARIAN TRILOGY
389	710	PUESTA EN MARCHA DE UN CT DE PLANIFICACIÓN DE RADIOTERAPIA USANDO EL ALGORITMO DE RECONSTRUCCIÓN DIRECTDENSITY™

Simposios técnicos

ID Panel	ID Indico	Título
476	88	CONTROL DE CALIDAD EN LOS TRATAMIENTOS DE RADIOCIRUGIA ESTEREOTÁXICA
477	221	TRATAMIENTO CON SBRT DE OLIGOMETÁSTASIS CON INTENCIÓN RADICAL
478	239	BOOST INTEGRADO DE ELECTRONES PARA CÁNCER DE MAMA
479	242	OPTIMIZACIÓN DE IMÁGENES RECONSTRUIDAS DIGITALMENTE EN TÓRAX Y MAMAS TRAS CIRUGÍA CONSERVADORA
480	243	COMPARACIÓN DE DOS SISTEMAS DE COMPRESIÓN EN LOS TRATAMIENTOS DE SBRT PULMONAR. CINTURÓN VS ARCO
481	268	EVALUACIÓN DEL EFECTO DOSIMÉTRICO EN LA IRRADIACIÓN POST-MASTECTOMÍA CON EXPANSOR METÁLICO
482	321	EXPERIENCIA EN EL FUNCIONAMIENTO DE LOS FLUJOS DE TRABAJO DE LA RED ARIA EN LA PLANIFICACIÓN DE TRATAMIENTOS DE RADIOTERAPIA.
483	378	CONTROL DE CALIDAD MENSUAL DE LOS COLIMADORES MULTILÁMINAS EN LOS ACELERADORES VARIAN DEL HOSPITAL LA FE AUTOMÁTIZADO CON EL PROGRAMA RIT
484	380	USO DEL PENTAGUIDE EN EL CONTROL DE CALIDAD DE LA IGRT
485	550	ESTUDIO ESTADÍSTICO DE LA INFLUENCIA DE LAS VARIACIONES DE LAS POSICIONES DE MESA EN EL POSICIONAMIENTO DE LOS TRATAMIENTOS DE RADIOTERAPIA EXTERNA
486	559	ANÁLISIS DEL USO DE UN ACELERADOR LINEAL DE ELECTRONES EN SUS TRES PRIMEROS AÑOS DE FUNCIONAMIENTO
487	579	TASA ELEVADA AL ALTA EN PACIENTES DE TERAPIA METABOLICA
488	580	SEGUIMIENTO Y ANÁLISIS DE LOS CONTROLES DE DOSIS EN TOMOTERAPIA
489	584	ERI Y QA DE EQUIPOS DE PR INDIVIDUAL
490	586	NECESIDAD DE FORMACIÓN EN PROTECCIÓN RADIOLÓGICA PARA TRABAJADORES NO EXPUESTOS
491	658	INMOVILIZACION PARA SBRT PULMON
492	723	¿ES LA TÉCNICA VMAT SUPERIOR A LA RADIOTERAPIA 3D CONFORMADA EN EL CÁNCER DE MAMA IZQUIERDA CON FOSA SUPRACLAVICULAR Y CADENA MAMARIA INTERNA?
493	375	CAMBIOS EN EL VOLUMEN Y POSICIÓN DE LA PRÓSTATA. INFLUENCIA DE LA ADQUISICIÓN CON O SIN FIADORES EN LOS CATÉTERES FLEXIBLES PARA TRATAMIENTOS DE ALTA TASA. ESTUDIO PRELIMINAR